

# 第十章 粒子单次散射和吸收

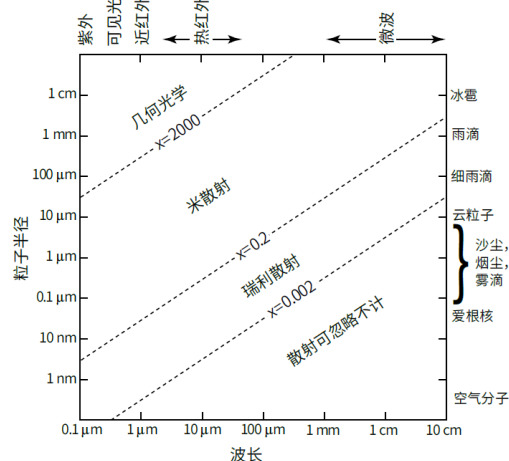
## 10.1 大气粒子

### 10.1.1 大气粒子基本情况

#### 10.1.1.1 大气粒子的尺度与数浓度

- 基本情况**
- ① 辐射传输方程由消光系数 $\beta_e$ 、单次散射反照率 $\omega$ 、散射相函数 $p$ 描述。
  - ② 这些粒子**单次散射特性**(以上参数)与**辐射波长和粒子的尺度、成分、形状和数目**有关。
  - ③ 为此需要确定粒子物理、几何特性与粒子吸收和散射特性之间的联系。

粒子情况	类型	尺寸	数浓度
	<b>气体分子</b>	<b><math>\sim 10^{-4} \mu\text{m}</math></b>	$< 3 \times 10^{19} \text{cm}^{-3}$
	爱根核气溶胶	$< 0.1 \mu\text{m}$	$\sim 10^4 \text{cm}^{-3}$
	大核气溶胶	$0.1 \sim 1 \mu\text{m}$	$\sim 10^2 \text{cm}^{-3}$
	巨核气溶胶	$> 1 \mu\text{m}$	$\sim 10 \sim 1 \text{cm}^{-3}$
	<b>云粒子</b>	<b><math>5 \sim 50 \mu\text{m}</math></b>	$10^2 \sim 10^3 \text{cm}^{-3}$
	细雨滴	$100 \mu\text{m}$	$\sim 10^3 \text{m}^{-3}$
	冰晶	$10 \sim 10^2 \mu\text{m}$	$\sim 10^3 \sim 10^5 \text{m}^{-3}$
	<b>雨滴</b>	<b><math>0.1 \sim 3 \text{mm}</math></b>	$10 \sim 10^3 \text{m}^{-3}$
	霰	$0.1 \sim 3 \text{mm}$	$1 \sim 10^2 \text{m}^{-3}$
	冰雹	$\sim 1 \text{cm}$	$10^{-2} \sim 1 \text{m}^{-3}$
	昆虫	$\sim 1 \text{cm}$	$< 1 \text{m}^{-3}$
	鸟	$\sim 10 \text{cm}$	$< 10^{-4} \text{m}^{-3}$
	飞机	$\sim 10 \text{m}$	$< 1 \text{km}^{-3}$



粒子尺度参数

注意：这个划分不是严格的

#### 10.1.1.2 粒子尺度参数

**尺度参数**  $x \equiv 2\pi r/\lambda$  其中 $r$ 表示球形粒子半径。

对于非球形粒子， $r$ 根据情况可表示为一个与其具有相同体积或表面积球体的半径。

- ① 瑞利散射与几何光学的粒子可以是任意形状，**米散射只能是球形粒子**。
- ② 上图划分并不严格，注意量级即可。**瑞利散射与米散射的分界是： $x = 0.2$ 。**

### 10.1.2 电偶极子辐射

#### 10.1.2.1 瑞利散射的推导

**瑞利条件**  $|m|x \ll 1$ ，即当**粒子相对波长足够小**。

**电偶极子** 电偶极矩 $= ql$ ，外界电磁辐射作用于电偶极子，其自身产生时变电磁场，称为**电偶极子辐射**。

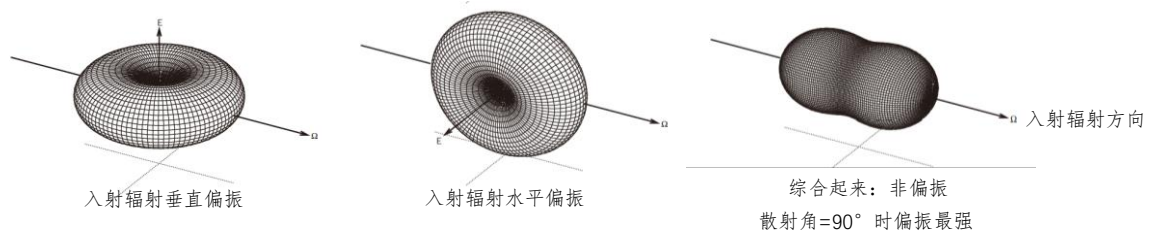
- ① 一个小球形粒子的**偶极矩**（电荷乘以距离）**正比于外部电场的强度**： $\vec{p} = \alpha \vec{E}_0 \exp(i\omega t)$ ,

其中 $\alpha$ 称为粒子的**极化率**，依赖于粒子的成分和尺度以及入射波的频率（通常不好算）。

- ② **散射电场正比于偶极子电荷加速度在与散射方向相垂直的平面上的投影**：

$$|\vec{E}_{\text{scat}}| \propto \frac{\partial^2 \vec{p}}{\partial t^2} \sin \gamma \propto \omega^2 \sin \gamma, \text{ 其中 } \gamma \text{ 是 } \vec{E}_0 \text{ 和散射方向 } \hat{\Omega}' \text{ 所形成的夹角。}$$

- ③ 远场观测的散射**辐射强度** $I$  **正比于电场振幅的平方**： $I \propto |\vec{E}_{\text{scat}}|^2 \propto \omega^4 \sin^2 \gamma$



### 10.1.2.2 散射辐射强度的角度分布推导

**模型假设** 设入射方向  $\hat{\Omega}$  与  $z$  轴重合，入射电场矢量  $\vec{E}_0$  与  $x$  轴对齐， $\theta$  是  $\hat{\Omega}$  和  $\hat{\Omega}'$  之间的夹角(散射角)，

$\Phi$  是以  $x$  轴为起点绕  $\hat{\Omega}$  方向旋转的方位角。

**模型计算**  $\hat{\Omega}' = (\sin \theta \cos \Phi, \sin \theta \sin \Phi, \cos \theta)$   $\cos \gamma = \hat{x} \cdot \hat{\Omega}' = (1, 0, 0) \cdot \hat{\Omega}' = \sin \theta \cos \Phi$   
 $\sin^2 \gamma = 1 - \cos^2 \gamma = 1 - \sin^2 \theta \cos^2 \Phi$   $I \propto \omega^4 (1 - \sin^2 \theta \cos^2 \Phi)$

### 10.1.2.3 散射辐射强度的角度分布特征

- 分布特征**
- ① 散射辐射强度正比于入射辐射频率的四次方，即与波长的四次方成反比。
  - ② 当  $\Phi$  等于  $90^\circ$  或者  $270^\circ$ ，即当任意散射光线处于垂直  $\vec{E}_0$  的平面内时，散射辐射强度是常数，且为最大值，与  $\theta$  无关。
  - ③ 当  $\Phi$  等于  $0^\circ$  或者  $180^\circ$ ，即当两个方向都沿着偶极子轴时，散射辐射强度等于零。

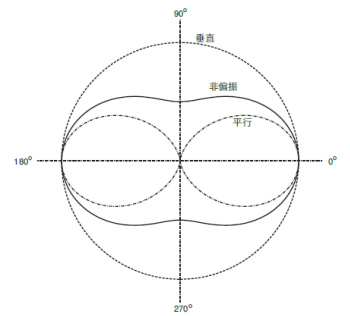
## 10.2 瑞利散射

### 10.2.1 瑞利散射相函数

**相函数** 对于非偏振入射辐射，可以通过在  $\Phi$  上对散射辐射强度进行平均，并进行归一化处理来得到相函数：

$$p(\theta) = \frac{3}{4} (1 + \cos^2 \theta)$$

上式就是通常用来描述非常小的粒子的散射相函数。



### 10.2.2 瑞利散射和吸收特性

**消光效率**  $Q_e = 4x \Im_{\text{虚部}} \left\{ \frac{m^2 - 1}{m^2 + 2} \left[ 1 + \frac{x^2}{15} \left( \frac{m^2 - 1}{m^2 + 2} \right) \frac{m^4 + 27m^2 + 38}{2m^2 + 3} \right] \right\} + \frac{8}{3} x^4 \Re_{\text{实部}} \left\{ \left( \frac{m^2 - 1}{m^2 + 2} \right)^2 \right\}$  只是  $x, m$  复折射率的函数

**散射效率**：  $Q_s = \frac{8}{3} x^4 \left| \frac{m^2 - 1}{m^2 + 2} \right|^2$  **吸收效率**：  $Q_a = 4x \Im \left\{ \frac{m^2 - 1}{m^2 + 2} \right\}$

① 吸收效率  $Q_a$  正比于  $x$ ，但是散射效率  $Q_s$  正比于  $x^4$ 。

② 吸收明显强于散射，如果有虚部的话 ( $x < 0.2$ ,  $x^4 < x$ )

**散射截面** 考虑到粒子散射效率在瑞利极限时正比于  $x^4$ ，而散射截面  $\sigma_s$  等于  $Q_s$  与粒子截面  $\pi r^2$  之积，因此：

$$\sigma_s \propto \left( \frac{2\pi r}{\lambda} \right)^4 \cdot \pi r^2 \propto \frac{r^6}{\lambda^4}$$

大粒子散射能力远大于小粒子，在雷达应用上非常广泛。

案例：两个  $10\mu m, 1\mu m$  的粒子，大粒子散射能力为小粒子的一百万倍。

**单次散射反照率** 对于足够小的  $x$ ，同时假设  $m$  具有非零虚部，单次散射反照率正比于  $x^3$ ，即  $\tilde{\omega} \equiv \frac{Q_s}{Q_e} \propto x^3$ ，

因此对于足够小的  $x$ ， $Q_s \ll Q_a \approx Q_e$ ，即完全可以忽略粒子散射

应用：① 大气热红外辐射的分子吸收 ② 云滴微波辐射吸收。

**质量吸收系数** 对于半径  $r$  和密度  $\rho$  的球形粒子，质量吸收系数写成  $k_a = \frac{Q_a \pi r^2}{\rho (4/3) \pi r^3} = \frac{3Q_a}{4\rho r}$

将粒子吸收效率和尺度参数代入上式可得  $k_a = \frac{6\pi}{\rho \lambda} \Im \left\{ \frac{m^2 - 1}{m^2 + 2} \right\}$ 。因此，质量吸收系数与粒子半径完

**全无关。**体积吸收系数等于质量吸收系数与介质密度的乘积，即  $\beta_a = k_a \rho_m$ 。

## 10.2.3 瑞利散射总结

- 总结情况**
- ① 对于一个固定尺寸的粒子，并将它暴露在两不同波长  $\lambda_1 < \lambda_2$  的辐射之下，那么较短波长  $\lambda_1$  的散射辐射要比较长波长  $\lambda_2$  强  $(\lambda_2/\lambda_1)^4$  倍。
  - ② 对于固定波长  $\lambda$  的辐射，并用其来照明两个半径  $r_1 < r_2$  的粒子，那么较大粒子的散射辐射要比较小粒子强  $(r_2/r_1)^6$  倍。
  - ③ 对于**足够小的粒子**，**散射是可以忽略的**，**吸收只正比于质量路径**，与粒子尺度无关。在此极限中，一块云的辐射表现就像吸收气体一样，而不是像一群离散的散射体一样。

## 10.3 米氏散射

**米氏散射** 用于求解**任意**尺度参数  $x$  和相对折射率  $m$  的**均匀球体**的散射和吸收特性，详细推导过程可以**参考教材**。

**求解思路** 利用**麦克斯韦方程**推导三维空间中电磁辐射的波动方程，将其用球极坐标  $(r, \phi, \theta)$  进行描述，并结合球体表面的合适边界条件。得到一个可变量分离的**偏微分方程**，其解可以表述为多个正交基函数之积的无穷级数，包括**正弦和余弦函数**（对  $\phi$  的依赖项）、**球贝塞尔函数**（对  $r$  的依赖项）和**连带勒让德多项式**（对  $\cos\theta$  的依赖项）。

**求解结果** 球体的消光和散射效率可以表示为： $Q_e = \frac{2}{x^2} \sum_{n=1}^{\infty} (2n+1) \Re(a_n + b_n)$ ,

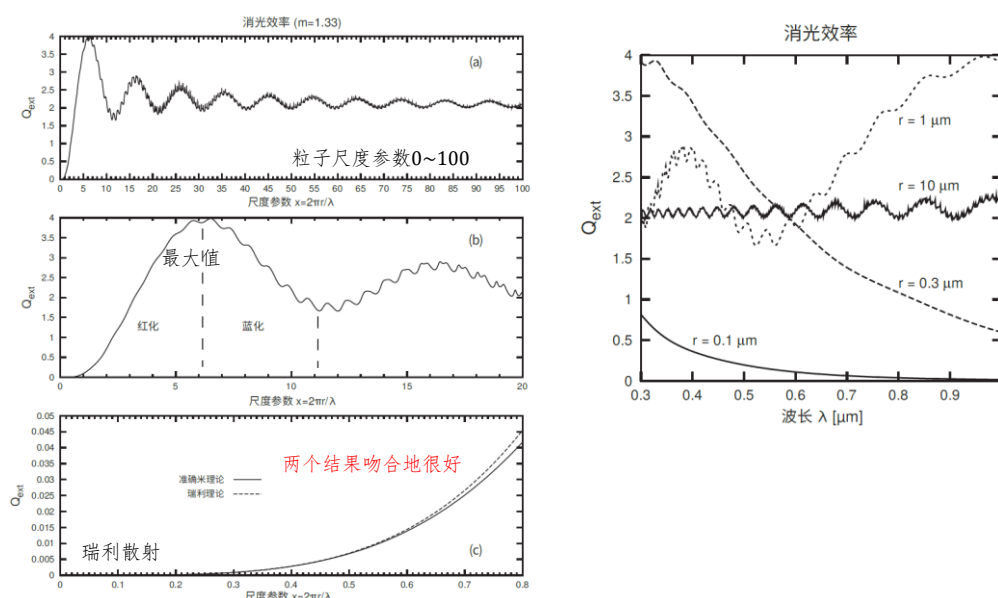
$Q_s = \frac{2}{x^2} \sum_{n=1}^{\infty} (2n+1) (|a_n|^2 + |b_n|^2)$ ，其中米散射系数  $a_n$  和  $b_n$  都是  $x$  和  $m$  的函数。从实际应用出发，总需要对级数进行**截断**，仅保留足够多的项来得到一个足够准确的近似。通常所需项数必须接近  $x + 4x^{1/2} + 2$  的整数。

## 10.4 散射案例与一般情况

### 10.4.1 非吸收球体的消光效率

**非吸收球体** 非吸收意味着折射率的虚部为零  $\Im(m) = 0$ ，吸收效率也为零  $Q_{obs} = 0$ ， $Q_{sca} = Q_{ext}$ 。

- 消光情况**
- ① **瑞利散射**极限条件下  $Q_{ext} \propto x^4$ 。下方左图最下方图
  - ② 当**粒子尺度与波长大小接近时**， **$Q_{ext}$ 达到最大值**。 $x = 2\pi r/\lambda$  约等于 6 时，出现最大值
  - ③ **几何光学**极限条件下  **$Q_{ext} \rightarrow 2$** 。因为衍射光接近于原有传输方向，散射角非常小
  - ④ 球体的**衍射光和透射光相干涉**引起消光的**振荡**，表现为一系列的主极大和极小。
  - ⑤ 由擦过和通过球体的**边缘光线**引起消光的小脉动，表现为一系列的毛刺现象。



## 10.4.2 光学现象的解释

### 10.4.2.1 消光系数趋近于 2 的现象

**几何极限** 几何极限情况下消光系数趋近于 2，可以解释白云：云滴粒子  $10\mu\text{m}$ ， $x = \frac{2\pi r}{\lambda_{\text{可见光}}} \sim 100$ ，则  $Q \rightarrow 2$ ，

由此各个波段散射的光基本一致，所以总和形成白云。

### 10.4.2.2 红移和蓝移现象

**红移现象** 当雾天粒子半径介于  $0.1 - 0.3\mu\text{m}$  时，**波长越短，辐射消光越强**，出现**红化现象**。

**朝霞晚霞的解释**：阳光倾斜传输，更多的蓝光被散射，传输到人眼的光变为红光。

**蓝移现象** 当气溶胶粒子半径约为  $1\mu\text{m}$  时，**波长越长，辐射消光越强**，出现**蓝化现象**。

当大气粒子不再是分子大气，则天空变为绿色或其他颜色。

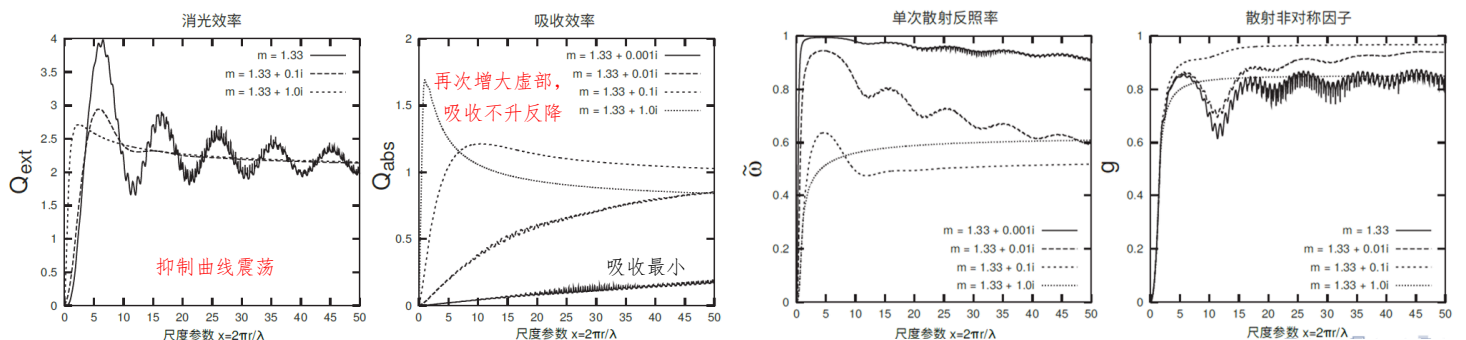
当有云大气粒子半径  $10\mu\text{m}$  时，消光效率几乎不依赖于波长大小，形成白云/乌云。

## 10.4.3 吸收球体的消光和散射

**吸收球体** 折射率虚部不等于零  $\Im(m) \neq 0$ ，因此散射和吸收效率都需要考虑。

### 主要特点

- ① **增加介质粒子吸收** (通过增加  $m$  虚部) 具有**抑制  $Q_e$  曲线振荡的效果**。
- ② 对于  $x \rightarrow 0$ ，瑞利散射单次散射反照率  $\tilde{\omega} \rightarrow 0$ 。由于瑞利散射吸收与  $x$  成正比，远大于散射的  $x^4$  但是如果折射率虚部  $\Im(m) = 0$ ，无论  $x$  是多少， $\tilde{\omega} = 1$ 。只有散射没有吸收
- ③ 对于  $x > 10$ ， **$\Im(m)$  与  $Q_a$  或  $\tilde{\omega}$  之间没有完全可预测的联系**。虚部增大，吸收效率不一定增大。
- ④ 对于  $\Im(m) = 0$ ， $Q_e$  和  $g$  曲线中存在大量精细的涟漪结构。
- ⑤ 对于  $x = 0$ ，非对称因子  $g$  也是零，正如**瑞利散射**预期的一样。
- ⑥ **随着  $x$  增加， $g$  也以非常快的速度增大**，直至达到约 0.8 (水云) 和 0.95 (冰云)。



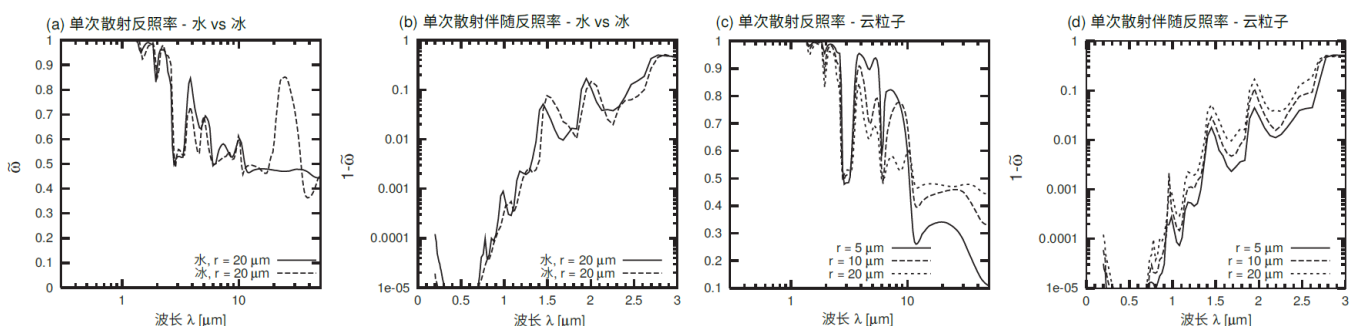
**注意** 对于**可见光区域**，水云和冰晶粒子，吸收是非常弱的，可以近似为非吸收球体的情况。

但对于红外、紫外等区域，都需要考虑吸收情况。

## 10.4.4 云的散射和吸收特性

### 主要特点

- ① 在**VIS 可见光区域** ( $0.4\mu\text{m} < \lambda < 0.7\mu\text{m}$ )，水云和冰晶粒子，**云滴吸收可以认为是零**，可以近似为非吸收球体的情况。在 UV 或者近红外， $\tilde{\omega}$  快速降到 1 以下；在大多数红外谱带， $\tilde{\omega}$  处于 0.5-0.8。
- ② 球形冰晶粒子与同样尺度的水滴粒子的单次散射反照率存在明显的不同（可用于云相态识别）。
- ③ 对于大多数波长，液态水云单次散射反照率对其液滴半径存在明显的依赖性；在同样的波长上，大液滴相比小液滴具有更强的吸收性（可用于云粒子有效半径遥感）。





## 10.4.5 真实的散射相函数

**瑞利散射** 对于 $x = 0.1$ ，经典瑞利散射相函数，**前向和后向呈对称性分布**。

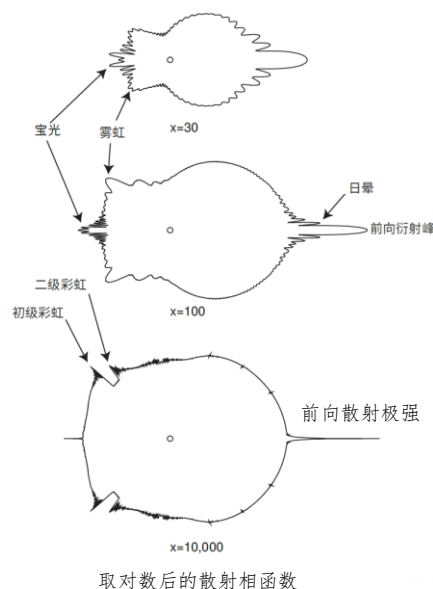
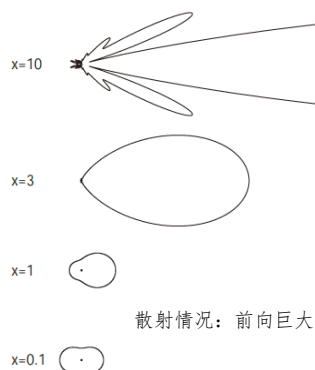
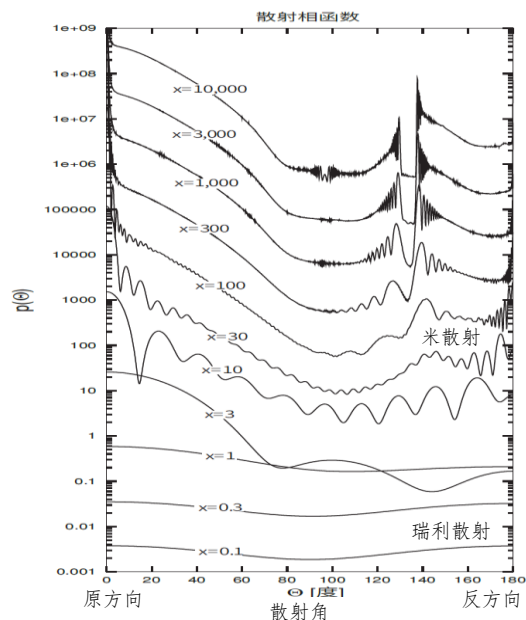
**米散射** ① 对于 $x = 3$ ，在 $\theta$  约为 $0^\circ$  至 $40^\circ$  内有一个散射增强的宽瓣。

② 随着 $x$  增加，**前向散射瓣变得更窄和更强**。

**几何光学** 对于非常大的 $x$ ，该所谓的前向衍射峰开始类似于 $\delta$  函数。

随着 $x$  增大，相函数的其余部分变得更加复杂，呈现出更多的涟漪毛刺。集中在彩虹区域。

对于 $x \geq 100$ ，在 $\theta \approx 140^\circ$  时出现主虹，在 $\theta \approx 130^\circ$  时出现附虹，**在 $\theta \approx 180^\circ$  时出现宝光**。

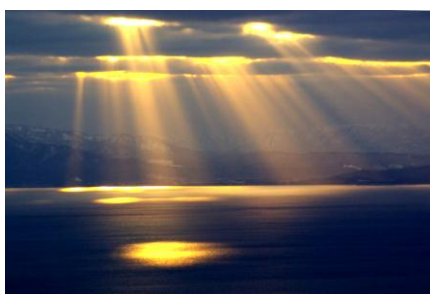


## 10.4.6 光学现象

**曙暮辉光** 光穿过云层后基本往前走（注意：光能被看到是因为发生了散射被人眼看到，但大部分往前）

**日华** 用植物遮住太阳，被遮住的地方，即**太阳附近的震荡**（日晕等）。花粉也能产生这种现象。

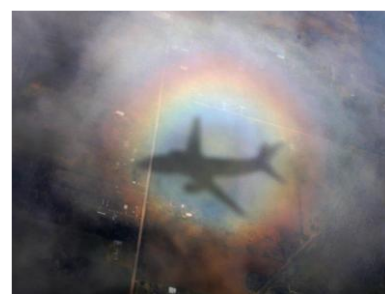
**宝光** 位于太阳后方，即散射角 $180^\circ$ ，其正中心为观测者自己的影子，也称为**佛光**。



强前向散射



日华



宝光



佛光



雾虹

## 10.5 粒子谱分布

**尺度谱分布** 现实中存在大量不同的粒子，要考虑多种粒子的散射情况。

粒子尺度谱分布： $n(r)dr = \{(\text{单位空气体积里})\text{半径落于 } [r, r + dr] \text{ 范围内粒子数目}\}$

单位：单位体积单位  $r$  区间  $[\text{m}^{-3}\mu\text{m}^{-1}]$

**体消光系数**  $\beta_e = \int_0^\infty n(r)Q_e(r)\pi r^2 dr$

**体散射系数**  $\beta_s = \int_0^\infty n(r)Q_s(r)\pi r^2 dr$

**散射相函数** 各个方向的散射截面比上总的截面： $p(\cos \Theta) = \frac{1}{\beta_s} \int_0^\infty n(r)Q_s(r)\pi r^2 p(\cos \Theta; r) dr$

**非对称因子**  $g = \frac{1}{\beta_s} \int_0^\infty n(r)Q_s(r)\pi r^2 g(r) dr$